

УДК 537.311.33; 534.2

© 1990

ФОНОНОПРОВОДИМОСТЬ ЛЕГИРОВАННЫХ КРИСТАЛЛОВ *n*-Ge

Б. А. Данильченко, С. Х. Рожко

Приведены результаты экспериментальных исследований изменения проводимости кристаллов *n*-Ge при $T=2\div4.2$ К, стимулированного потоками неравновесных акустических фононов. Исследовались некомпенсированные образцы с концентрациями $N_d^{\text{Sb}} = 2 \cdot 10^{16}$ и $N_d^{\text{As}} = 1.5 \cdot 10^{17}$ см⁻³, близкими к переходу Мотта. Изменение проводимости сопоставлялось с времяпролетными спектрами неравновесных фононов в этих же кристаллах. Показано, что приложение одноосного давления вдоль {111} направления влияет как на акустическую прозрачность кристалла, так и на величину и характер фононопроводимости. В Ge : Sb при $P > 4 \cdot 10^8$ дин/см² изменение тока однозначно связано с участием акустических фононов в прыжковой проводимости. Результаты в Ge : As анализируются с привлечением малоизученного неупругого механизма поглощения фононов при переходе электрона из связанного состояния в D^- зону. Обнаружено аномально сильное поглощение T_1A фононов в кристалле Ge : As.

Легирование кристаллов Ge элементами V группы приводит к появлению дополнительных механизмов рассеяния акустических фононов. При гелиевых температурах, когда донорные электроны находятся в нижайших невозбужденных состояниях, основными механизмами рассеяния являются: I) упругое рассеяние, связанное с дефектом массы атомов решетки и легирующей примеси; II) упругое резонансное и неупругое рассеяние фононов, обусловленное электронными переходами между синглет-триплетным расщеплением 4Δ , основного $1S$ состояния примеси. Эти механизмы хорошо изучены как теоретически, так и экспериментально в слаболегированных кристаллах Ge [1-5].

При увеличении степени легирования до уровня, когда перекрытие волновых функций донорных состояний становится существенным, паряду с перечисленными включаются новые неупругие механизмы рассеяния, в том числе обусловленные III) поглощением фонона при переходе электрона из занятого донорного состояния D^0 на свободное D^+ по схеме

$$\hbar\omega + D_i^0 + D_j^- \rightarrow D_i^+ + D_j^0,$$

IV) поглощением фонона, в результате чего электрон переходит из локализованного D^0 состояния в слаболокализованное состояние в D^- зоне, по схеме

$$\hbar\omega + D^0 \rightarrow e_{D^-} + D^+.$$

Два последних процесса изменяют токовое состояние образца. Так, процесс III связан с прыжковой проводимостью, а процесс IV приводит к увеличению концентрации носителей в зоне с большей подвижностью. Время рассеяния акустических фононов, связанное с участием фонона в прыжковой проводимости, и ее изменение в слабых электрических полях можно оценить исходя из результатов работ [6, 7]. Однако роль акустических фононов в изменении проводимости за счет генерации избыточных носителей в D^- зону, насколько нам известно, не исследовалась.

В связи с этим в настоящей работе экспериментально изучалась зависимость проводимости легированных кристаллов n -Ge от потоков неравновесных баллистических фононов. Исследовались образцы, в которых при гелиевых температурах хорошо выражена проводимость по D^- зоне. Известно, что приложение одноосного давления изменяет степень перекрытия примесных состояний [7]. Поэтому в зависимости от величины приложенного давления в образцах Ge : Sb можно было изменять соотношение между прыжковой проводимостью и проводимостью по D^- зоне. Это делало возможным в пределах одного образца сравнивать изменения проводимости, вызванные поглощением неравновесных акустических фононов по механизмам III и IV.

1. Методика исследований и образцы

Исследовались некомпенсированные ($K \leq 0.005$) кристаллы Ge : Sb и Ge : As с концентрацией $N_d^{\text{Sb}} = 2 \cdot 10^{16}$ и $N_d^{\text{As}} = 1.5 \cdot 10^{17} \text{ см}^{-3}$. Концентрация примесей определялась из холловских измерений при $T = 293$ и 77 K . Компенсация оценивалась по температурной зависимости концентрации носителей.

Акустические измерения потоков неравновесных фононов выполнялись с помощью метода тепловых импульсов на образцах, ограниченных плоскостями (111), (110), (211). Давление прикладывалось вдоль направления $\langle 111 \rangle$. Специально разработанное устройство позволяло плавно изменять давление, прикладываемое к образцу, находящемуся в жидком гелии, от 0 до $2 - 3 \cdot 10^9 \text{ дин/см}^2$. Неравновесные фононы возбуждались при нагреве пленки Au, нанесенной на одну из (110) плоскостей кристалла. Нагрев пленки осуществлялся импульсами излучения азотного лазера длительностью 10 нс. С противоположной от генератора фононов стороны кристалла располагался приемник неравновесных фононов из сверхпроводящего индия. Такая геометрия расположения источника и приемника позволяла регистрировать потоки фононов, распространяющихся вдоль направления $\langle 110 \rangle$.

Изменение проводимости образцов, вызванное потоками неравновесных фононов, регистрировалось следующим образом. После акустических измерений пленка In снималась с поверхности образца. На ее месте вплавляли две полоски из In—As сплава на расстоянии $\approx 1 \text{ мм}$ между собой. К подготовленным таким образом омическим контактам прикладывалось постоянное электрическое поле $1 - 3 \text{ В/см}$, а ток в цепи регистрировался по изменению напряжения на нагрузочном сопротивлении. Такая последовательность проведения эксперимента позволяла сопоставлять в пределах одного образца времязадержанные спектры неравновесных фононов и вызванное ими изменение проводимости в зависимости от величины приложенного давления.

Система регистрации сигналов болометра или изменения тока проводимости образца включала в себя программно-управляемый стробоскопический осциллограф С7-17, сигналы с которого заносились в память мини-ЭВМ, управляющей экспериментом. Система обработки данных исключала синхронную помеху от работы лазера и производила накопление полезных сигналов.

12. Результаты эксперимента и обсуждение

Времязадержанные спектры неравновесных фононов, наблюдавшиеся в легированных кристаллах Ge : Sb и Ge : As при различных величинах давлений, приведены на рис. 1, 2. Из рис. 1 видно, что при $P = 0$ тепловой импульс в Ge : Sb на расстоянии 0.37 см от источника состоит в основном из баллистических фононов T_2A -моды. Баллистические фононы LA -моды полностью отсутствуют, а поток T_1A фононов мал и примерно в 5 раз

меньше потока T_2A фононов. С увеличением давления акустическая прозрачность кристалла увеличивается. При $P=1.2 \cdot 10^9$ дин/см² становится заметным баллистический поток LA фононов, поток T_1A фононов возрастает более чем на порядок, поток T_2A фононов возрастает в два раза. Дальнейшее увеличение давления качественно картины теплового импульса не изменяет.

Сильное рассеяние акустических фононов наблюдается и в кристаллах Ge : As. При $P=0$ тепловой импульс на расстоянии 0.3 см от источника

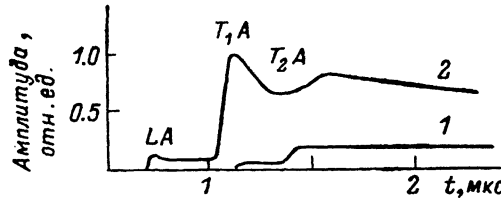


Рис. 1. Времяпролетный спектр неравновесных фононов в Ge : Sb.

P , дин/см²: 1 — 0, 2 — $1.2 \cdot 10^9$. $N_d = 2 \cdot 10^{16} \text{ см}^{-3}$.

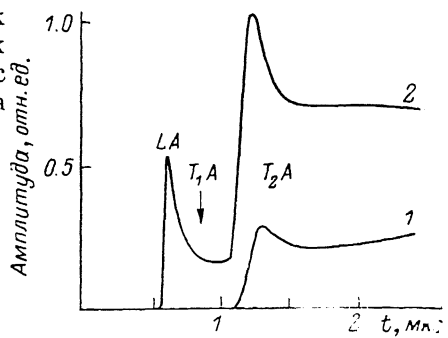


Рис. 2. Времяпролетный спектр неравновесных фононов в Ge : As.

P , дин/см²: 1 — 0, 2 — $1.8 \cdot 10^9$, $N_d = 1.5 \cdot 10^{17} \text{ см}^{-3}$.

состоит только из потока баллистических фононов T_2A -моды, как и в кристалле Ge : Sb. Увеличение давления приводит к просветлению кристалла для фононов LA - и T_2A -мод. При $P=1.8 \cdot 10^9$ дин/см² поток T_2A фононов возрастает почти в 4 раза, а поток LA фононов достигает уровня T_2A фононов. Вместе с тем из рис. 2 видно, что акустического просветления для фононов T_1A -моды не происходит.

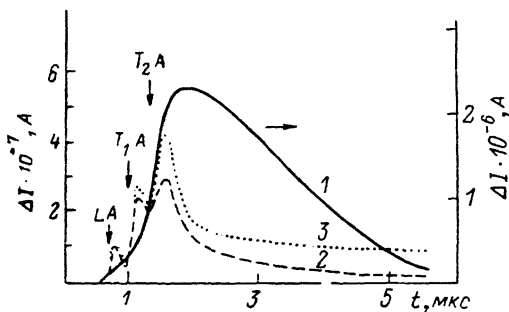


Рис. 3. Изменение тока проводимости, стимулированное неравновесными фононами в Ge : Sb.

P , дин/см²: 1 — 0, 2 — $4.3 \cdot 10^8$, 3 — $1.6 \cdot 10^9$. $N_d = 2 \cdot 10^{16} \text{ см}^{-3}$, $T = 4.2 \text{ K}$.

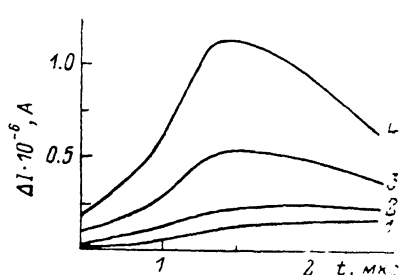


Рис. 4. Изменение тока проводимости, стимулированное неравновесными фононами в Ge : As.

P , дин/см²: 1 — 0, 2 — $6.6 \cdot 10^8$, 3 — $1.1 \cdot 10^9$, 4 — $2 \cdot 10^9$. $N_d = 1.5 \cdot 10^{17} \text{ см}^{-3}$, $T = 2 \text{ K}$.

Изменение проводимости кристаллов Ge : Sb, вызванное потоками неравновесных фононов, приведено на рис. 3. Сигнал фонопроводимости при нулевом давлении имеет форму широкого колокола. Начало увеличения тока происходит заметно раньше, чем неравновесные фононы баллистически достигают поверхности, на которой вплавлены электрические контакты. Приложение давления резко изменяет структуру сигнала фонопроводимости. Так, при $P=4.3 \cdot 10^8$ дин/см² выделяются пики, связанные с баллистическим приходом потоков LA , T_1A и T_2A фононов. Дальнейшее увеличение давления до $1.6 \cdot 10^9$ дин/см² приводит к росту проводимости, связанной с баллистическими потоками T_1A и T_2A фононов. Обращает на себя внимание тот факт, что вклад в увеличение проводимости от фононов различных поляризаций неодинаков. Если:

сравнить данные рис. 1 и 3 при максимальных давлениях, видно, что наибольший вклад в ток дают фононы медленной поперечной T_2A -моды колебаний.

В кристаллах Ge : As также наблюдается изменение проводимости, вызванное потоком неравновесных фононов. На рис. 4 представлены сигналы фонопроводимости для различных давлений. Как видно, при небольших давлениях изменение проводимости мало. В отличие от кристаллов Ge : Sb фонопроводимость Ge : As растет с давлением. Форма сигнала остается гладкой функцией от времени с широким максимумом. Ни при каких давлениях, вплоть до $2 \cdot 10^9$ дин/см², форма сигнала фонопроводимости не повторяет форму теплового импульса, наблюдавшегося в этом кристалле.

Рассмотрим более подробно связь между потоками неравновесных акустических фононов и увеличением тока прыжковой проводимости. Ток прыжковой проводимости, согласно [7], записывается в виде

$$I = \frac{e^2}{kT} \Gamma_{ij}^0 V, \quad (1)$$

где V — приложенное напряжение; Γ_{ij}^0 — усредненное в единицу времени число переходов между занятыми D^0 и свободными D^+ донорами, индуцированное фононом с $\hbar\omega = \Delta_{ij}$. В выражении для Γ_{ij}^0 можно выделить члены, зависящие от параметров акустических фононов так, что

$$\Gamma_{ij}^0 = C \frac{\omega}{S^3} N(\omega) f(q), \quad (2)$$

где C — коэффициент пропорциональности; q — волновой вектор фонона; S — его скорость; $N(\omega)$ — число фононов на частоте ω ; a — боровский радиус примесного состояния; $f(q) = [1 + (1/qa)^2]^{-1}$.

Выражения (1), (2) позволяют связать наблюдаемые изменения тока δI_k и потоки неравновесных фононов $\delta N_k(\omega)$, k -й поляризации. Из (1), (2) следует, что отношение изменения токов $\delta I_k / \delta I_l$ и вызывающие эти токи потоки неравновесных фононов $\delta N_k / \delta N_l$ на частоте ω связаны соотношением

$$G_k^l = \frac{\delta I_k}{\delta I_l} \frac{\delta N_l}{\delta N_k} \frac{\omega_l}{\omega_k} \frac{f_l(q)}{f_k(q)} = \left(\frac{S_l}{S_k} \right)^5. \quad (3)$$

Для оценки (3) будем исходить из того, что основной вклад в баллистические сигналы A_k вносят фононы вблизи максимальных частот ω_{\max} , тогда $A_k \sim N_k(\omega_{\max}) \omega_{\max}^2$. В исследуемых кристаллах Ge : Sb при $P > 1 \times 10^9$ дин/см² основное рассеяние фононов обусловлено изотопическими примесями, а не особенностями донорных состояний. Исходя из известной зависимости времени рассеяния на изотопах в Ge [8], можно показать, что в образце длиной 0.4 см $\omega_{\max}^{LA} = 3.4$, $\omega_{\max}^{T_{1A}} = 3.1$, $\omega_{\max}^{T_{2A}} = 2.8$ ТГц. В расчете использовались известные величины скоростей для направления $\langle 110 \rangle$ в Ge: $S_{LA} = 5.45 \cdot 10^5$, $S_{T_{1A}} = 3.6 \cdot 10^5$, $S_{T_{2A}} = 2.8 \cdot 10^5$ см/с. Используя амплитудные значения токов $\delta I_{LA, T_{1A}, T_{2A}}$ и баллистических фононов $\delta A_{LA, T_{1A}, T_{2A}}$ (рис. 1, 3), мы определили величины $G_{LA}^{T_{1A}}$, $G_{LA}^{T_{2A}}$, $G_{T_{1A}}^{T_{2A}}$. Они оказались равными $1.35 \cdot 10^{-1}$, $4.95 \cdot 10^{-2}$, $3.6 \cdot 10^{-1}$ соответственно, тогда как отношения соответствующих скоростей в пятой степени равны 1.25×10^{-1} , $3.6 \cdot 10^{-2}$, $2.8 \cdot 10^{-1}$. Столь близкое равенство полученных отношений однозначно связывает изменение тока проводимости с потоками неравновесных фононов и является прямым экспериментальным подтверждением теории прыжковой проводимости.

Неупругое рассеяние фононов, в результате которого электрон из связанного D^0 состояния переводится в D^- зону, по-видимому, в наибольшей степени проявляется в кристаллах Ge : As и отчасти в Ge : Sb при $P = 0$. Поскольку этот механизм рассеяния фононов мало изучен теоретически, ограничимся качественным обсуждением полученных результатов.

Известно, что энергия активации в D^- зону, обозначаемую как E_2 , в кристаллах Ge : Sb растет, а в Ge : As уменьшается с давлением [9]. Как следует из рис. 4, изменение проводимости, индуцированное потоком неравновесных фононов, растет вместе с давлением в Ge : As. Это может быть связано с увеличением как акустической прозрачности, а следовательно $N(\omega)$, так и вероятности перехода электрона из D^0 в D^- состояние при понижении энергии E_2 . Отметим, что из электрических измерений образцов данной концентрации $N_d = 1.5 \cdot 10^{17} \text{ см}^{-3}$ величина E_2 изменяется на $1.8 \cdot 10^{-3}$ эВ при изменении давления от 0 до $2 \cdot 10^9 \text{ дин/см}^2$ и составляет 2.2 мэВ при $P = 2 \cdot 10^9 \text{ дин/см}^2$. Для образца длиной 0.3 см максимальная энергия баллистического фона на составляет 2 мэВ, т. е. энергии баллистического фона еще не хватает для прямого перехода электрона из D^0 в D^- состояние. В кристаллах Ge : Sb акустическая прозрачность и величина E_2 растут с давлением. Однако вклад неравновесных фононов в наведенную проводимость уменьшается и при больших давлениях полностью обусловлен механизмом прыжковой проводимости. Следовательно, изменение проводимости за счет $D^0 \rightarrow D^-$ механизма рассеяния фононов определяется главным образом величиной E_2 . Еще одной характерной особенностью наведенной проводимости в Ge : As и Ge : Sb при $P = 0$ является несовпадение формы сигнала и временной структуры теплового импульса. Это может быть обусловлено значительным временем жизни неравновесных носителей в D^- зоне. По нашим оценкам, оно должно составлять $\approx 5 \cdot 10^{-6}$ с. Остается непонятной причина сильного поглощения акустических фононов T_1A -моды колебаний в кристалле Ge : As, и ее выяснение требует специального исследования.

Авторы выражают благодарность О. Г. Сарбею за полезные обсуждения и поддержку при выполнении работы.

Список литературы

- [1] Griffin A., Carruthers P. // Phys. Rev. 1963. V. 131. N 5. P. 1976—1995.
- [2] Suzuki K., Mikoshiba // J. Phys. Soc. Jap. 1971. V. 31. N 1. P. 186—189.
- [3] Miyasato T., Tokumra M., Toguchi M., Akao F. // J. Phys. Soc. Jap. 1981. V. 50. N 6. P. 1986—1991.
- [4] Dynes R. C., Narayanamurti V. // Phys. Rev. B. 1972. V. 6. N 1. P. 143—172.
- [5] Данильченко Б. А., Рожко С. Х. // ФТТ. 1989. Т. 31. № 3. С. 263—265.
- [6] Miller A., Abrahams E. // Phys. Rev. 1960. V. 120. N 3. P. 745—755.
- [7] Шкловский Б. И., Эфрос А. Л. Электронные свойства легированных полупроводников. М.: Наука, 1979. 416 с.
- [8] Holland M. G. // Phys. Rev. 1963. V. 132. N 6. P. 2461—2471.
- [9] Fritzsche H. // Phys. Rev. 1962. V. 125. N 5. P. 1552—1567.

Институт физики АН УССР
Киев

Поступило в Редакцию
17 июля 1989 г.